

Multimodal source code - vulnerability description model for vulnerability classification

Nunzio Saitta
Corso di Cognitive Computing A.A. 2024/2025

Indice

1	Introduzione	2
2	Obiettivi	2
3	Metodologia	2
3.1	Dataset	2
3.2	Architettura del modello	3
3.3	Funzione di loss	3
3.4	Allenamento	3
4	Risultati	3
4.1	Loss	4
4.2	Accuracy	4
4.3	Macro F1-score	5
4.4	Metriche per classe	6
5	Conclusioni	6

1 Introduzione

La classificazione automatica delle vulnerabilità, presenti nel codice, in categorie *CWE* rappresenta un passo fondamentale per la comprensione e la mitigazione delle debolezze del software. In questo progetto si propone un approccio **multimodale**, che combina l'utilizzo di snippet di codice e di descrizioni delle vulnerabilità, con l'obiettivo di migliorare la classificazione. L'uso congiunto di codice e testo introduce la difficoltà di *alignment* tra due domini differenti. L'allineamento multimodale può migliorare la generalizzazione, ma bisogna rivolgere particolare attenzione alla semantica CWE e all'overlap tra categorie.

2 Obiettivi

- Allineare rappresentazioni di codice e descrizioni testuali in uno spazio condiviso.
- Sfruttare architetture transformer pre-allenate (CodeBERT per gli snippet di codice, RoBERTa per le descrizioni).
- Allenare il modello per predire la categoria CWE corrispondente.

3 Metodologia

3.1 Dataset

I dati sono stati ottenuti da dataset pubblici come il National Vulnerability Database(NVD), dunque gli snippet di codice presenti esaminati erano sicuramente vulnerabili. Il dataset iniziale è composto da circa 6000 esempi e 15 classi CWE distinte.

Di seguito le 10 classi più frequenti:

Label	Records
CWE-119	2127
CWE-20	1142
CWE-125	625
CWE-200	503
CWE-416	330
CWE-190	307
CWE-362	278
CWE-476	215
CWE-787	198
CWE-284	177

Tabella 1: Distribuzione dataset

Per ciascun record sono stati estratti:

- snippet di codice
- descrizione testuale della vulnerabilità
- label CWE

Si è effettuato un preprocessamento per rimuovere rumore e normalizzare i dati:

- *Codice*: rimozione di commenti, normalizzazione degli spazi e delle tabulazioni.
- *Testo*: lowercasing, stopword removal, lemmatizzazione.

Il dataset è stato suddiviso in 70% training, 15% validation e 15% test, mantenendo la proporzione originale tra le classi, tuttavia sul set di training è stato applicato un campionamento, in modo da uniformare la rappresentatività delle classi. Dopo il bilanciamento, il training set contiene circa 300 esempi per ciascuna classe, garantendo una distribuzione omogenea per l'allenamento del modello.

3.2 Architettura del modello

Il modello proposto è composto da:

- Encoder CodeBERT per il codice.
- Encoder RoBERTa per la descrizione testuale.
- Due proiezioni lineari per mappare gli embedding nello spazio comune.
- Una testa di classificazione lineare che riceve l'embedding del codice e produce la distribuzione sulle categorie CWE.

3.3 Funzione di loss

La loss complessiva è definita come:

$$\mathcal{L} = \alpha \mathcal{L}_{class} + \beta \mathcal{L}_{align}$$

dove \mathcal{L}_{class} è relativa alla classificazione CWE e \mathcal{L}_{align} è la loss relativa all' allineamento che forza le rappresentazioni di codice e testo corrispondenti ad avvicinarsi nello spazio latente.

3.4 Allenamento

Sono stati effettuati vari allenamenti con differenti configurazioni al fine di ottimizzare le performance. In generale, la modifica che ha portato maggiori benefici è stata l'introduzione di **WeightedSampler** per bilanciare le classi durante l'allenamento. La sua introduzione ha portato a un miglior bilanciamento del training con conseguenze importanti sulla convergenza della loss, mentre a livello di classificazione ci sono stati incrementi significativi per le classi meno rappresentate nel dataset.

Questa è la configurazione finale del modello, a cui fanno riferimento i risultati successivamente riportati:

- Ottimizzatore: AdamW con learning rate iniziale $2e-5$.
- Scheduler lineare con warmup del 10% degli step totali.
- Epoche: 12.
- Dataset: 70% training, 15% validation, 15% test.
- Batch size: 16.
- Coefficienti di loss: $\alpha = 0.7$, $\beta = 0.3$.
- Metriche: Accuracy, Precision, Recall, F1-score, Top-3 Accuracy.

4 Risultati

La classificazione è stata effettuata per le 15 classi distinte presenti nel dataset iniziale.

Label	Description
CWE-119	Buffer Overflow
CWE-20	Improper Input Validation
CWE-125	Out of bounds Read
CWE-200	Exposure of Sensitive Information
CWE-416	Use After Free
CWE-190	Integer Overflow or Wraparound
CWE-362	Race Condition
CWE-476	Null Pointer Dereference
CWE-787	Out of bounds Write
CWE-284	Improper Access Control
CWE-59	Improper Link Resolution Before File Access
CWE-79	Cross-site Scripting
CWE-404	Improper Resource Shutdown or Release
CWE-415	Double Free
CWE-732	Incorrect Permission Assignment for Critical Resource

Tabella 2: Classi dataset

4.1 Loss

L'andamento della loss totale mostra una riduzione regolare per tutte le epoche, indice di un apprendimento stabile. La loss di classificazione decresce più rapidamente mentre la loss relativa all'allineamento diminuisce più lentamente. Questo indica che il modello riesce già a classificare dalla prime epoche e che l'allineamento tra embedding di codice e testo richiede più tempo per stabilizzarsi. La convergenza complessiva indica che il bilanciamento dei pesi tra le due loss non introduce instabilità.

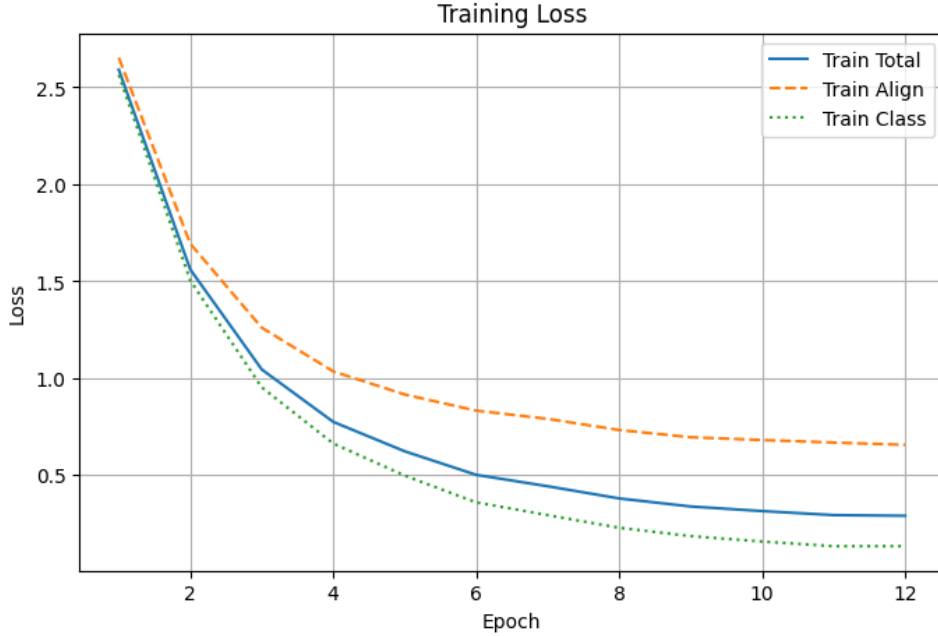


Figura 1: Andamento Train loss

4.2 Accuracy

L'accuracy cresce rapidamente e si stabilizza tra le epoche 8 e 10. La stabilità delle curve di validazione e test conferma la solidità del modello e l'assenza di fluttuazioni anomale. I valori del test set si stabilizzano intorno al 65%.

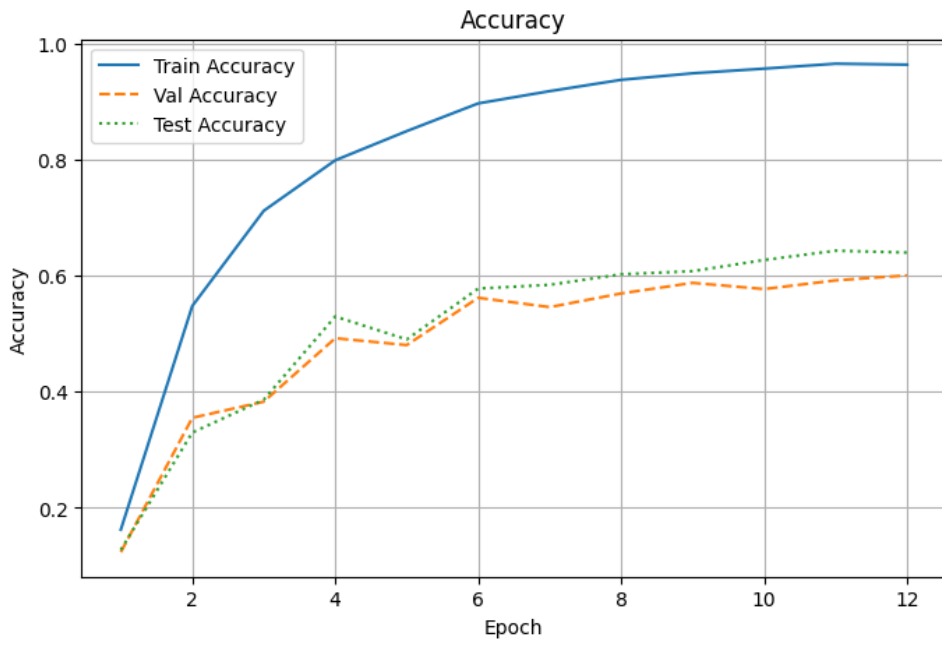


Figura 2: Andamento Accuracy

La Top-3 Accuracy raggiunge circa l’85%, indicando che nella maggior parte dei casi la classe corretta rientra tra le prime tre predizioni del modello.

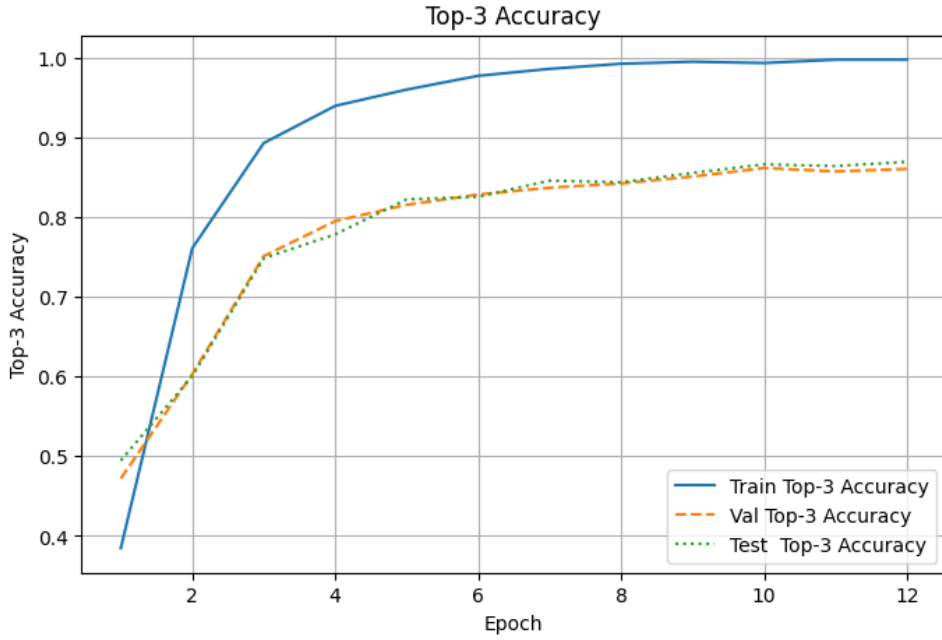


Figura 3: Andamento Top3 Accuracy

4.3 Macro F1-score

Il valore di Macro-F1 cresce rapidamente nelle prime epoche e tende a stabilizzarsi dopo la sesta, indicando una convergenza del modello. L’andamento simile di validation e test suggerisce una buona capacità di classificazione generale.

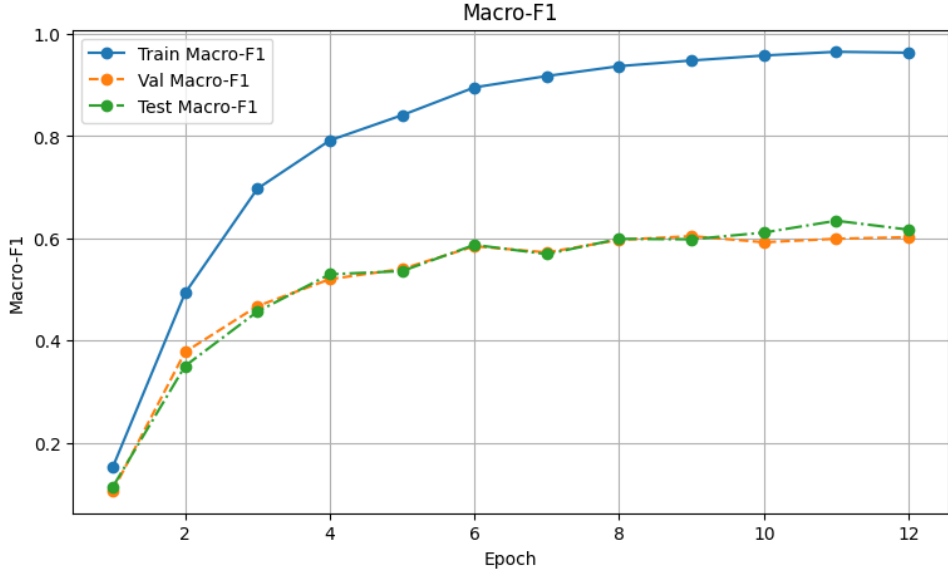


Figura 4: Andamento Macro F1-score

4.4 Metriche per classe

Le metriche per classe riportate nella seguente tabella mostrano le prestazioni classificazione, con valori di F1-score compresi tra 0.4 e 0.95 a seconda della tipologia di vulnerabilità (CWE). Contribuiscono alla qualità delle predizioni sia chiarezza dei pattern nel codice sia la possibile vicinanza semantica tra classi CWE.

Label	Precision	Recall	F1-score	Support
CWE-732	1.000	0.909	0.952	11
CWE-119	0.693	0.712	0.702	323
CWE-284	0.724	0.656	0.689	32
CWE-404	0.571	0.800	0.667	5
CWE-125	0.667	0.667	0.667	84
CWE-190	0.638	0.667	0.652	45
CWE-20	0.607	0.654	0.630	182
CWE-476	0.700	0.568	0.627	37
CWE-79	0.571	0.667	0.615	6
CWE-787	0.636	0.538	0.583	26
CWE-362	0.625	0.541	0.580	37
CWE-415	0.429	0.667	0.522	9
CWE-200	0.536	0.462	0.497	80
CWE-416	0.469	0.479	0.474	48
CWE-59	0.500	0.333	0.400	9

Tabella 3: Metriche di valutazione per classe sul test set

5 Conclusioni

Il lavoro ha evidenziato l’efficacia di un approccio multimodale per la classificazione di vulnerabilità software, basato sull’allineamento tra codice sorgente e descrizioni testuali. L’architettura proposta, ha permesso di ottenere un buon equilibrio tra accuratezza e allineamento delle rappresentazioni. L’analisi dei risultati evidenzia una Macro-F1 di circa 0.60. Le curve di loss confermano la corretta convergenza del modello e l’efficacia del bilanciamento tra le due componenti. È importante notare che la correlazione diretta tra il numero di esempi per classe e le metriche è stata ridotta, come detto in precedenza, anche grazie all’utilizzo del campionamento bilanciato durante la fase di train.

La vicinanza semantica tra alcune classi CWE può aver influenzato le performance, con pattern di codice simili che possono portare confusione tra categorie affini. Questo spiegherebbe in parte anche il valore della Top-3 Accuracy, che risulta significativamente più alto rispetto alla singola accuracy, infatti raggiunge circa l'85%, indicando che nella maggioranza dei casi la classe corretta rientra tra le prime tre predizioni del modello. Questo risultato conferma che il modello è in grado di riconoscere con buona affidabilità la tipologia di vulnerabilità, anche se non individua esattamente la classe. In conclusione, il modello sviluppato fa emergere come l'allineamento tra codice e linguaggio naturale può migliorare e supportare la classificazione CWE.